

# МЕХАНИКА ТВЕРДОГО ТЕЛА

№ 2 · 1979

УДК 539.375

## ДВОЯКОПЕРИОДИЧЕСКАЯ ЗАДАЧА ТЕОРИИ УПРУГОСТИ ДЛЯ ПРОДОЛЬНОГО СДВИГА АНИЗОТРОПНОЙ СРЕДЫ С ТРЕЩИНАМИ

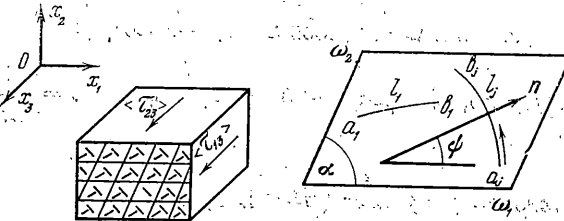
Л. В. ВОЛКОВА, Л. А. ФИЛЬШТИНСКИЙ

(Сумы)

Краевые задачи теории упругости для изотропной среды с криволинейными трещинами рассматривались в [1-3]. Для анизотропной среды с криволинейными трещинами в случае плоской деформации общий подход был развит в [4]. В предлагаемой работе рассматривается двоякопериодическая задача для трещин продольного сдвига в анизотропной среде. Строится макромодель такой регулярной структуры.

1. Постановка задачи. Рассмотрим неограниченную анизотропную среду, ослабленную двоякопериодической системой криволинейных туннельных разрезов и находящуюся в условиях продольного сдвига средними напряжениями  $\langle \tau_{13} \rangle, \langle \tau_{23} \rangle$  (фиг. 1).

Будем предполагать, что в пределах параллелограмма периодов имеется  $k$  туннельных разрезов  $l_j$  ( $j=1, k$ ) и на берегах разрезов  $l_j$  задана одннаковая в конгруэнтных точках нагрузка  $Z_n^{\pm}$  (верхний знак относится к



Фиг. 1

левому берегу разреза при движении вдоль  $l_j$  от начала — точки  $a_j$  к концу —  $b_j$ ). Предположим также, что  $l_j$  — простые разомкнутые дуги Ляпунова.

Требуется определить напряжения и смещения в описанной структуре, а также построить макромодель структуры.

Пусть  $\omega_1$  и  $\omega_2$  ( $\text{Im } \omega_1 = 0, \text{Im } \omega_2/\omega_1 > 0$ ) — основные периоды структуры,  $D$  — область, занятая средой.

Напряжения и смещения в среде выражаются через аналитическую функцию  $\Phi(z_1)$  комплексного переменного  $z_1 = x_1 + i x_2$  по формулам

$$\tau_{13} = 2\text{Re} \{ \mu \Phi(z_1) \}, \quad \tau_{23} = -2\text{Re} \Phi(z_1), \quad u_3 = -2\sqrt{\Delta} \text{Im } \Phi(z_1)$$

$$\Delta = a_{44}a_{55} - a_{45}^2 > 0, \quad \Phi(z_1) = \frac{d\varphi(z_1)}{dz_1}, \quad \mu = \frac{a_{44} + i\sqrt{\Delta}}{a_{55}} \quad (1.1)$$

Здесь  $\tau_{13}$ ,  $\tau_{23}$  — компоненты касательного напряжения на соответствующих площадках;  $u_3$  — компонента вектора упругого смещения вдоль оси  $ox_3$ ;  $a_{44}$ ,  $a_{45}$ ,  $a_{55}$  — соответствующие коэффициенты в законе Гука для анизотропной среды.

Краевые условия на  $l_j$  запишем в виде

$$\begin{aligned} 2 \operatorname{Re}\{a(\psi) \Phi^\pm(t_1)\} &= \pm Z_n^\pm(t), \quad t \in l = \bigcup l_j \\ a(\psi) &= \mu_1 \cos \psi - \sin \psi, \quad t_1 = \operatorname{Re} t + \mu \operatorname{Im} t \end{aligned} \quad (1.2)$$

Здесь  $\phi$  — угол между положительной нормалью к левому берегу в точке  $t$  и осью  $ox_3$ .

В силу групповой симметрии задачи  $\Phi(z_1)$  будем разыскивать в классе двоякопериодических функций.

Таким образом задача сводится к определению двоякопериодической аналитической функции  $\Phi(z_1)$  по краевому условию (1.2) и дополнительному условию однозначности перемещения в среде.

Положим

$$\Phi(z_1) = A + \frac{1}{2\pi i} \int_l \frac{\omega(t)}{a(\psi)} \xi(t_1 - z_1) dt_1, \quad \omega(t) = \{\omega_j(t), t \in l_j\} \quad (1.3)$$

Здесь  $\xi(t_1 - z_1)$  — дзета-функция Вейерштрасса, построенная на периодах  $\omega_{11} = \omega_1$ ,  $\omega_{21} = \operatorname{Re} \omega_2 + \mu \operatorname{Im} \omega_2$ ; константа  $A$  определяется из условий существования в  $D$  средних напряжений  $\langle \tau_{13} \rangle$ ,  $\langle \tau_{23} \rangle$ :

$$\begin{aligned} -\langle \tau_{23} \rangle |\omega_1| &= 2 \operatorname{Re} \varphi(z_1) |_{z_1}^{z_1 + \omega_{11}} \\ (\langle \tau_{13} \rangle \sin \alpha - \langle \tau_{23} \rangle \cos \alpha) |\omega_2| &= 2 \operatorname{Re} \varphi(z_1) |_{z_1}^{z_1 + \omega_{21}} \\ \varphi(z_1) |_{z_1}^{z_1 + \omega_{11}} &= A \omega_{11} + \delta_{11} d, \quad \varphi(z_1) |_{z_1}^{z_1 + \omega_{21}} = A \omega_{21} + \delta_{21} d, \quad d = \frac{1}{2\pi i} \int_l \frac{\omega(t)}{a(\psi)} t_1 dt_1 \end{aligned} \quad (1.4)$$

Решение системы (1.4) дает ( $H = \operatorname{Im} \omega_2$ ):

$$A = \frac{4\pi \operatorname{Im} d}{\omega_1 H(\bar{\mu} - \mu)} - \frac{\langle \tau_{23} \rangle \bar{\mu} + \langle \tau_{13} \rangle}{\bar{\mu} - \mu} - \frac{d \delta_{11}}{\omega_1} \quad (1.5)$$

Условие двойкой периодичности  $\Phi(z_1)$  приводит к соотношению

$$\int_l \frac{\omega(t)}{a(\psi)} dt_1 = \int_l \omega(t) ds = 0 \quad (1.6)$$

**2. Основная система сингулярных интегральных уравнений.** Переходя в (1.3) к предельным значениям и подставляя их в краевое условие (1.2), получаем (вычитая из первого предельного равенства второе)

$$2 \operatorname{Re} \omega(t) = F_1(t), \quad F_1(t) = Z_n^+ + Z_n^- \quad (2.1)$$

Складывая полученные предельные равенства и учитывая (2.1), приходим к основной системе сингулярных интегральных уравнений

$$\int \limits_{l_j} p(t) G(t, t_0) ds = N(t_0), \quad G(t, t_0) = \operatorname{Re} \left[ a(\psi_0) \xi(t_1 - t_{10}) - \frac{\delta_{11} a(\psi_0) t_1}{\omega_1} - \frac{2\pi \cos \psi_0}{\omega_1 H i} t_1 \right], \quad P(t) = \operatorname{Im} \omega(t)$$

$$(2.2)$$

$$N(t_0) = \pi [0.5 F_2(t) - \langle \tau_{13} \rangle \cos \psi_0 - \langle \tau_{23} \rangle \sin \psi_0] +$$

$$+ \int F_1(t) \operatorname{Im} \left[ \delta_{11} a(\psi_0) t_1 - 0.5 a(\psi_0) \xi(t_1 - t_{10}) + \frac{\pi \cos \psi_0 t_1 i}{\omega_1 H} \right] ds$$

$$ds = dt_1 / a(\psi), \quad F_2(t) = Z_n^+ - Z_n^-, \quad t_1 = \operatorname{Re} t + \mu \operatorname{Im} t$$

$$t_{10} = \operatorname{Re} t_0 + \mu \operatorname{Im} t_0, \quad t \in l, \quad t_0 \in l$$

Ядро  $G(t, t_0)$  имеет особенность типа Коши. К системе (2.2) необходимо присоединить  $k$  дополнительных условий однозначности смещения  $u_3$ :

$$\int \limits_{l_j} p(t) ds = 0 \quad (j=1, k) \quad (2.3)$$

Непосредственно видно, что условие двойкой периодичности напряжений (1.6) вытекает из условий (2.3).

Система интегральных уравнений (2.2) с дополнительными условиями (2.3) и представление (1.3) полностью определяют напряжения в  $D$ .

**3. Асимптотические значения напряжений в окрестности вершин трещин.** Введем параметризацию контура  $l_j$ , положив (ниже индекс  $j$  опускаем)

$$t = t(\beta), \quad t(-1) = a, \quad t(1) = b, \quad t \in l_j \quad (-1 \leq \beta \leq 1) \quad (3.1)$$

Используя (3.1) и учитывая, что решение системы (2.2) существует в классе  $h_0$  [5], запишем

$$p(t) = \Omega(\beta) = \Omega_0(\beta) / \sqrt{1 - \beta^2} \quad (3.2)$$

где  $\Omega_0(\beta)$  ограничена на  $l_j$ .

Вычисляя асимптотические значения интеграла (1.3), находим с учетом (1.1), (2.2) асимптотические значения напряжений в окрестности вершин

$$\tau_{13} = \frac{\sqrt{s'(\pm 1)}}{\sqrt{2\rho}} \operatorname{Re}(\mu B), \quad s'(\pm 1) = \frac{ds}{d\beta} \Big|_{\beta=\pm 1}, \quad \tau_{23} = \frac{-\sqrt{s'(\pm 1)}}{\sqrt{2\rho}} \operatorname{Re} B$$

$$z - c = \rho e^{i\theta}, \quad \psi_c = \psi(\pm 1)$$

$$B = i\Omega_0(\pm 1) / [\mp (\mu \cos \psi_c - \sin \psi_c) (\cos \theta + \mu \sin \theta)]^{1/2}$$

Здесь верхний знак относится к точке  $c = b$  (конец трещины), нижний знак — к точке  $c = a$  (начало трещины),  $ds$  — элемент дуги на  $l$ . В частности, на продолжении трещины за точку  $c$  имеем

$$\tau_{13} = \sqrt{\frac{s'(\pm 1)}{2\rho}} \operatorname{Re} \left\{ \frac{\mu \Omega_0(\pm 1)}{\mu \cos \psi_c - \sin \psi_c} \right\}$$

$$\tau_{23} = -\sqrt{\frac{s'(\pm 1)}{2\rho}} \operatorname{Re} \left\{ \frac{\Omega_0(\pm 1)}{\mu \cos \psi_c - \sin \psi_c} \right\}$$

Для изотропной среды в формуле (3.3) необходимо положить  $\mu=i$ .

В локальной системе координат, связанной с вершиной трещины, соотношение (3.3) имеет вид, аналогичный соответствующим формулам [6], причем коэффициент интенсивности  $K_{II}=(2\pi s'(c))^{1/2}\Omega_0(c)$ , где  $\Omega_0(c)$  — значение в вершине трещины величины  $\Omega_0$ , найденной из решения краевой задачи (1.2) в локальной системе координат, связанной с вершиной  $c$ . Величина  $s'(c)=ds/d\beta$  в точке  $c$  (параметризация контура также соответствует локальной системе координат).

**4. Макроскопическая модель структуры.** Определение макроскопической модели структуры дано в [7]. (Ниже полагаем, что берега трещины свободны от сил).

Средние деформации  $\langle\gamma_{13}\rangle$  и  $\langle\gamma_{23}\rangle$  имеют вид

$$\begin{aligned}\langle\gamma_{13}\rangle &= \frac{1}{\omega_1}[u_3(z+\omega_1)-u_3(z)] \\ \langle\gamma_{23}\rangle &= \frac{1}{H}[u_3(z+\omega_2)-u_3(z)] - \frac{h}{H}\langle\gamma_{13}\rangle\end{aligned}\quad (4.1)$$

Используя (1.1) и (1.4), перепишем (4.1) в виде

$$\langle\gamma_{13}\rangle = -\frac{2V\Delta}{\omega_1} \operatorname{Im}(A\omega_{11} + \delta_{11}d) \quad (4.2)$$

$$\langle\gamma_{23}\rangle = -\frac{2V\Delta}{H\omega_1} [\omega_1 \operatorname{Im}(A\omega_{21} + \delta_{21}d) - h \operatorname{Im}(A\omega_{11} + \delta_{11}d)], \quad h = \operatorname{Re}\omega_2$$

Пусть  $p^{(1)}(t)$  — решение системы (2.2) при  $\langle\tau_{13}\rangle=1$ ,  $\langle\tau_{23}\rangle=0$ ;  $p^{(2)}(t)$  — решение системы (2.2) при  $\langle\tau_{13}\rangle=0$ ,  $\langle\tau_{23}\rangle=1$ .

Тогда решение системы (2.2) и функционал  $d$  представимы в форме

$$\begin{aligned}p(t) &= \langle\tau_{13}\rangle p^{(1)}(t) + \langle\tau_{23}\rangle p^{(2)}(t), \quad d = \langle\tau_{13}\rangle d_1 + \langle\tau_{23}\rangle d_2 \\ d_1 &= \frac{1}{2\pi} \int \frac{p^{(1)}(t)}{a(\psi)} t_1 dt, \quad d_2 = \frac{1}{2\pi} \int \frac{p^{(2)}(t)}{a(\psi)} t_1 dt\end{aligned}\quad (4.3)$$

Подставляя в (4.2) значение  $A$  из (4.5) и  $d$  из (4.3), приходим к закону Гука для макромодели

$$\begin{aligned}\langle\gamma_{23}\rangle &= \langle\tau_{23}\rangle \langle a_{44}\rangle + \langle\tau_{13}\rangle \langle a_{45}\rangle, \quad \langle\gamma_{13}\rangle = \langle\tau_{23}\rangle \langle a_{54}\rangle + \langle\tau_{13}\rangle \langle a_{55}\rangle \quad (4.4) \\ \langle a_{44}\rangle &= a_{44} + \frac{4\pi}{H\omega_1} (\sqrt{\Delta} \operatorname{Re} d_2 - a_{45} \operatorname{Im} d_2) \\ \langle a_{45}\rangle &= a_{45} + \frac{4\pi}{H\omega_1} (\sqrt{\Delta} \operatorname{Re} d_1 - a_{45} \operatorname{Im} d_1) \\ \langle a_{54}\rangle &= a_{54} - \frac{4\pi \operatorname{Im} d_2}{\omega_1 H} a_{55}, \quad \langle a_{55}\rangle = a_{55} - \frac{4\pi \operatorname{Im} d_1}{\omega_1 H} a_{55}\end{aligned}$$

Можно показать, что  $\langle a_{45}\rangle = \langle a_{54}\rangle$ . Величины  $\langle a_{ik}\rangle$ , входящие в (4.4), представляют собой макроскопические параметры исследуемой структуры. Результаты остаются в силе и для изотропного материала, достаточно лишь положить  $\mu=i$  ( $a_{45}=a_{54}=0$ ,  $a_{44}=a_{55}$ ).

**5. Результаты расчетов.** При проведении расчетов система (2.2) сводилась к системе линейных алгебраических уравнений по схеме [8]. Рассматривался случай, когда в пределах параллелограмма периодов имеется одна трещина вдоль дуги эллипса

$$x_1 = x = R_1 \cos \frac{\beta+1}{2} \varphi, \quad x_2 = y = R_2 \sin \frac{\beta+1}{2} \varphi \quad (-1 \leq \beta \leq 1)$$

причем начало трещины соответствует значению  $\beta = -1$ , конец  $\beta = +1$ ; оси симметрии эллипса совпадают с главными осями упругой симметрии.

На фиг. 2 приведены эпюры ( $2l$  — длина трещины) величины  $(2\rho/l)^{1/2} \tau_{13}$  в зависимости от полярного угла  $\Theta$  для следующих значений параметров:  $\langle \tau_{13} \rangle = 1$ ,  $\langle \tau_{23} \rangle = 0$ ,  $R_1/R_2 = 2$ ,  $\varphi_1 = 60^\circ$ ,  $\omega_1 = 2$ ,  $\omega_2 = i$ ,  $\mu = 2i$ .

На фиг. 3 приведены графики величины  $a_{44}/\langle a_{44} \rangle$  (кривая 1),  $a_{55}/\langle a_{55} \rangle$  (кривая 2) и  $\langle a_{45} \rangle/a_{44}$  (кривая 3) в функции от угла  $\varphi$  (характеризующего длину трещины) при  $R_1/R_2 = 1$ ,  $\omega_1 = 2$ ,  $\omega_2 = 2i$ ,  $\mu = i$ . Там же приведена кривая  $\langle a_{45} \rangle/a_{44}$  (пунктир) для  $R_1/R_2 = 2$ ,  $\omega_1 = 2$ ,  $\omega_2 = i$ ,  $\mu = 2i$ . Графики величин  $a_{44}/\langle a_{44} \rangle$  и  $a_{55}/\langle a_{55} \rangle$  для этого случая практически совпадают с кривой 1 и кривой 2 соответственно.

Из расчетов следует, что макромодель структуры, даже в том случае, когда материал ее изотропен, может обладать существенной анизотропией.

Поступила 10 V 1977

#### ЛИТЕРАТУРА

- Гольдштейн Р. В., Салганик Р. Л. Плоская задача о криволинейных трещинах в упругом теле. Изв. АН СССР. МТТ, 1970, № 3.
- Гольдштейн Р. В., Савова Л. Н. Об определении раскрытия и коэффициентов интенсивности напряжений для гладкой криволинейной трещины в упругой плоскости. Изв. АН СССР. МТТ, 1972, № 2.
- Линьков А. М. Интегральные уравнения теории упругости для плоскости с разрезами, нагруженными уравновешенными системами сил. Докл. АН СССР, 1974, т. 218, № 6.
- Фильштинский Л. А. Упругое равновесие анизотропной среды, ослабленной произвольными криволинейными трещинами. Предельный переход к изотропной среде. Изв. АН СССР. МТТ, 1976, № 5.
- Мусхелишвили Н. И. Сингулярные интегральные уравнения. М., Физматгиз, 1962.
- Черепанов Г. П. Механика хрупкого разрушения. М., «Наука», 1974.
- Фильштинский Л. А. К теории упругих неоднородных сред с регулярной структурой. ПММ, 1973, т. 37, вып. 2.
- Каландия А. И. Математические методы двумерной упругости. М., «Наука», 1973.